



**26. MEDZINÁRODNÁ KONFERENCIA
„SÚČASNÉ PROBLÉMY V KOLAJOVÝCH
VOZIDLÁCH - PRORAIL 2023“
20. – 22. septembra 2023, Žilina, Slovensko**

<https://doi.org/10.26552/spkv.Z.2023.2.36>

**PROVOZ ELEKTRICKÝCH JEDNOTEK V PODMÍNKÁCH ČH(E)Ž
OPERATION OF EMUS IN CONDITIONS OF ČIERNY HRON
(ELECTRIC) RAILWAY**

Jiří ŠLAPÁK^{*)}, Michal LOKVENC, Tomáš MICHÁLEK, Aleš HÁBA, Aleš BÍLEK

1 ÚVOD

Čiernohronská železnica (ČHŽ) je známá turistická lesní dráha, která dnes spojuje Čierny Balog s Hroncem a Chvatimechem na straně jedné a s Dobročí na straně druhé, přičemž z Čierného Balogu odbočuje ještě trať do Vydrovské doliny. Na zachování této technické památky se významným způsobem podíleli dobrovolníci, kteří se po roce 1982, kdy byl na této – tehdy poslední – lesní železnici na Slovensku zastaven pravidelný provoz, zasloužili o obnovu a údržbu jak tratě, tak i vozidel. Od obnovení provozu v roce 1992 však již uplynulo více než 30 let a zejména trať Č. Balog–Chvatimech (provozovaný dnes jen z Č. Balogu po výhybnu Šánske) vyžaduje výraznější obnovu. Jelikož je v současné době obnova celé trati na dobrovolnické bázi jen stěží realizovatelná, vznikl ambiciózní projekt Čiernohronské elektrické železnice (ČHEŽ), jehož cílem je získat prostředky na kompletní modernizaci úseku Chvatimech–Č. Balog–Dobroč a jeho prodloužení do Podbrezové. Uvedený úsek by měl být zároveň elektrizován stejnosměrnou trakční napájecí soustavou 1,5 kV a trať ČHEŽ by měla být začleněna do IDS Banskobystrického kraje (odbočná větev z Č. Balogu do Vydrova by měla dále sloužit jako turistická dráha). Pro provoz na elektrizované trati již bylo za výhodných podmínek pořízeno 17 vozidel (7 elektrických motorových vozů řady BDe 4/4 a 10 řídicích vozů řady Bt) od švýcarské společnosti Waldenburgerbahn AG, kde tyto vratné soupravy pocházející z roku 1985 zajišťovaly provoz na trati Liestal–Waldenburg do jejího přerozhodování z původních 750 mm na 1 000 mm v letech 2021–2022.

^{*)} **Ing. Jiří ŠLAPÁK**, Univerzita Pardubice, Dopravní fakulta Jana Pernera, Studentská 95, 53210 PARDUBICE, Česká republika. Tel.: +420 466 036 443, e-mail: jiri.slapak@upce.cz Doktorand, zabývá se zejména simulačními výpočty jízdy kolejových vozidel.

Ing. Michal LOKVENC, Univerzita Pardubice, Dopravní fakulta Jana Pernera, Studentská 95, 53210 PARDUBICE, Česká republika. E-mail: lokvemi@seznam.cz. Absolvent studijního programu Dopravní technika, specializace Stavba vozidel.

Ing. Tomáš MICHÁLEK, Ph.D., Univerzita Pardubice, Dislokované pracoviště Dopravní fakulty Jana Pernera, Nádražní 547, 56002 ČESKÁ TŘEBOVÁ, Česká republika. Tel.: +420 466 037 415, e-mail: tomas.michalek@upce.cz. Odborný asistent, zabývá se zejména interakcí vozidlo–kolej, dynamikou jízdy kolejových vozidel a trakční mechanikou.

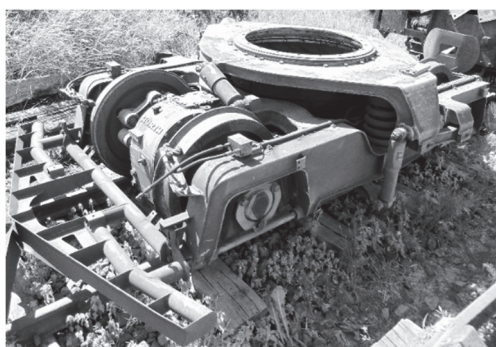
Ing. Aleš HÁBA, Ph.D., Univerzita Pardubice, Dislokované pracoviště Dopravní fakulty Jana Pernera, Nádražní 547, 56002 ČESKÁ TŘEBOVÁ, Česká republika. Tel.: +420 466 037 428, e-mail: ales.haba@upce.cz. Odborný asistent, zabývá se zejména vzájemným vztahem dvojkolů–kolej a konstrukcí kolejových vozidel.

Ing. Aleš BÍLEK, Čiernohronská železnica, n.o., Hlavná 56, 97652 ČIERNY BALOG, Slovensko. Tel.: +421 486 191 500, e-mail: chz@chz.sk. Riaditeľ ČHŽ.

V návaznosti na pořízení těchto souprav (viz **obr. 1**) vyvstala otázka jejich nasazení do provozu, přičemž jde zejména o technickou kompatibilitu a bezpečnost provozu vozidel, provozovaných původně na trati o rozchodu 750 mm, na tratích ČHŽ s rozchodem koleje 760 mm. Kromě toho byla provedena úprava jedné jednotky, jejímž cílem bylo umožnit její provoz na stávající (neelektrizované) infrastruktuře. Tato úprava spočívala v dosazení motorgenerátoru s příslušenstvím do představku řídicího vozu. Otázkou je tedy i bezpečnost provozu takto upravené jednotky. S cílem zodpovědět tyto otázky byla na Dopravní fakultě Jana Pernera Univerzity Pardubice vypracována diplomová práce [1]. V tomto příspěvku jsou shrnuty základní okruhy problémů, které byly v rámci práce řešeny.



Obr. 1 Vyšetřovaná elektrická jednotka
Fig. 1 Investigated EMU



Obr. 2 Hnací podvozek motorového vozu
Fig. 2 Traction bogie of the motor car

2 BEZPEČNOST PROTI VYKOLEJENÍ UPRAVENÉHO ŘÍDICÍHO VOZU

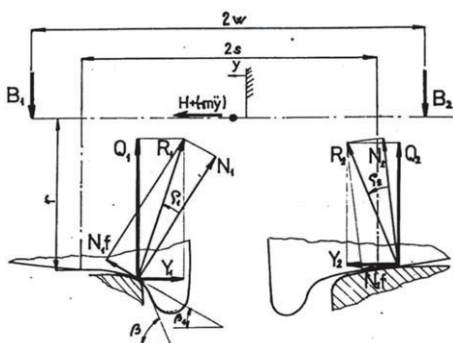
Jak bylo zmíněno v úvodu, pro provoz na stávající neelektrifikované trati byla jedna souprava upravena dosazením motorgenerátoru CAT DE165E0, transformátoru BEZ aTSE 718/10 a usměrňovače se stykači. Hmotnost této dodatečné trakční výzbroje, která je situována na zadním představku řídicího vozu činí cca 3 000 kg, což má za následek nezanedbatelnou změnu v celkovém rozložení hmotnosti vozidla. Jedním z úkolů proto bylo ověření bezpečnosti proti vykolejení upraveného vozidla, které bylo provedeno analyticky, na základě porovnání poměrného odlehčení kola původního a upraveného vozidla při postavení na zborcené koleji. Toto hodnocení kvazistatické bezpečnosti proti vykolejení vychází z metody č. 3 dle EN 14363. Protože je však norma určena pro normálněrozchodná vozidla, nelze normou definovanou mezní hodnotu poměrného odlehčení kola 0,6 přímo aplikovat pro vozidla úzkorozchodná. Stejně tak hodnoty mezního zborcení je nutné upravit s ohledem na specifika úzkorozchodné infrastruktury. Podrobný postup výpočtu je kromě práce [1] uveden i ve zprávě [2], která posloužila jako podklad pro povolení zkušebního provozu upravené jednotky s cestujícími; základní principy a myšlenky jsou shrnuty níže.

2.1 Stanovení mezní hodnoty poměrného odlehčení kola

Východiskem pro stanovení mezní hodnoty poměrného odlehčení kola byl rozbor silové rovnováhy dvojkol v příčném směru, znázorněný na **obr. 3**. Rovnici statické rovnováhy v příčném směru lze po přepočtu vodicích sil Y na svislé kolové síly Q vyjádřit jako:

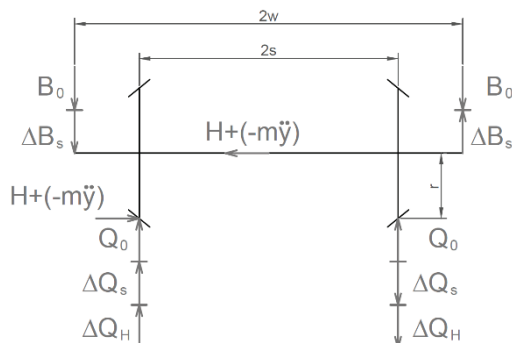
$$H + (-m \cdot \ddot{y}) = Q_1 \cdot \tan(\beta_1 - \rho_1) - Q_2 \cdot \tan(\beta_2 - \rho_2), \quad (1)$$

kde H – rámová síla, $-m\ddot{y}$ – odstředivá síla, Q_1 – svislá kolová síla nabíhajícího kola, Q_2 – svislá kolová síla vnitřního kola, β – úhel sklonu dotykové roviny a ρ – třecí úhel. Svislé kolové síly lze rozložit dle **obr. 4** na statickou svislou kolovou sílu Q_0 , přitížení, resp. odlehčení účinkem od rámové síly ΔQ_H a vlivem změny zatížení nápravových ložisek ΔQ_S .



Obr. 3 Silov a rovnov aha dvojkol i v pr i n em sm eru; zdroj: [3]

Fig. 3 Force equilibrium of a wheelset in the lateral direction; source: [3]



Obr. 4 Rozbor pr i n ych a svisl ych sil p sobiacich na dvojkol i pr  j zde obloukem

Fig. 4 Lateral and vertical forces acting on wheelset in a curve

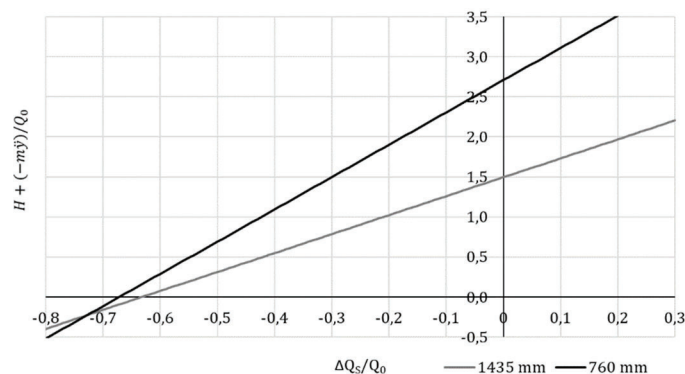
Vyj adren m sil ΔQ_H a ΔQ_S na z klad e momentov e rovnov ahy (viz **obr. 4**) a jejich dosazen m do rovnice (1) vznikne rovnice (2), v n i  se krom  pom ru $\Delta Q_S/Q_0$ vyskytuj  na prav  stran  pouze konstanty, a tud i  je mo n  vyj adrit line rn  z vislost pom ru pr i n e sily ku staticke svisle kolov  sile a pom rn  zm ny svisle kolov  sily ve tvaru rovnice (3):

$$\frac{H+(-m \cdot \ddot{y})}{Q_0} = \frac{\tan(\beta_1 - \rho_1) - Q_2 \cdot \tan(\beta_2 - \rho_2) + \frac{\Delta Q_S}{Q_0} \cdot [\tan(\beta_1 - \rho_1) - Q_2 \cdot \tan(\beta_2 - \rho_2)]}{1 - \frac{r}{2s} \cdot [\tan(\beta_1 - \rho_1) - Q_2 \cdot \tan(\beta_2 - \rho_2)]} \quad (2)$$

$$\frac{H+(-m \cdot \ddot{y})}{Q_0} = A + B \cdot \frac{\Delta Q_S}{Q_0} \quad (3)$$

TAB. 1 Uva ovan e parametry pro v po et mezn  hodnoty pom rn ho odleh en  kola
TABLE 1 Considered parameters for calculation of a limit value of the relative wheel unload

Parametr	Ozna�en�	1435 mm	760 mm
�hel sklonu dotykov� roviny na nab�hajc�m kole (�hel sklonu okolku)	β_1 (β_{max})	70°	75°
�hel sklonu dotykov� roviny na vnitřn�m kole	β_2	2,86° (1:20)	
Sou�initel tření (třec� �hel) na vn�jřn�m kole	f_1 (ρ_1)	0,40 (21,8°)	
Sou�initel tření (třec� �hel) na vnitřn�m kole	f_2 (ρ_2)	0,20 (11,3°)	
Jmenovit� polom�r kola	r	460 mm	330 mm
Vzd�lenost sty�n�ch kru�nic	$2s$	1 500 mm	819 mm
Hodnota limitn�ho pom�rn�ho odleh�en� kola pro nulovou hodnotu pom�rn� pr�i�n�e sily	$(\Delta Q/Q_0)_{(H/Q_0)=0}$	0,63	0,68



Obr. 5 Graf závislosti poměrné příčné síly na změně poměrného zatížení kola

Fig. 5 Dependency of relative lateral force on a relative change of wheel load

Pro samotný výpočet byly uvažovány hodnoty uvedené v **TAB. 1**. Z hlediska bezpečnosti byly uvažovány méně příznivé skluzové podmínky v dotykových bodech kol a kolejnic, které jsou definovány různými třecími úhly ρ (nabíhající kolo se odvaluje po suché kolejnici, vnitřní kolo po mokré kolejnici). Grafické znázornění závislosti definované rovnicí (3) pro rozchod koleje 1435 mm a pro rozchod koleje 760 mm je uvedeno na **obr. 5**. Jedná se vždy o rostoucí přímku, která rozděljuje oblast grafu na dvě poloviny. Pokud se hodnoty budou pohybovat v polovině pod přímkou, je pravděpodobnost vyšplhání kola na hlavu kolejnice pro reálné vozidlo velice nízká. Kritická oblast se nachází v horní polovině, kde je rámová síla už příliš velká. Průsečík přímky s vodorovnou osou udává stav, ve kterém k vykolejení může dojít i při působení nulové rámové síly. V tomto případě je dvojkoli schopna vykolejit vodicí síla Y_2 vnitřního kola, které je přitíženo. Tento případ může typicky nastat při pomalé jízdě sestupnicí v přechodnici (viz poslední řádek v **TAB. 1**).

Limitní hodnota pro normální rozchod 0,63 koresponduje s limitní hodnotou odlehčení kola 0,6, definovanou pro metodu č. 3 v EN 14363, což potvrzuje domněnku o původu limitní hodnoty uvedené v normě. Při jízdě vyšetřovaných vozidel pro úzký rozchod pak nesmí dojít k odlehčení kola o více než 68 % statické hodnoty svislé kolové síly. Na základě výše uvedeného tedy lze jako mezní hodnotu pro úzkorozchodná vozidla použít i hodnotu mírně vyšší, než udává norma EN 14363 pro normálněrozchodná vozidla. Bylo navrženo:

$$\left(\frac{\Delta Q}{Q_0} \right)_{\text{lim}} = 0,65, \quad (4)$$

2.2 Stanovení mezní hodnoty zborcení koleje

Skutečné odlehčení kola řídicího vozu vlivem postavení vozidla na zborcené koleji lze vypočítat na bázi podvozku a na bázi otočných čepů, přičemž absolutní velikost odlehčení kola závisí zejména na tuhosti vypružení a velikosti zborcení koleje. Mezní zborcení na bázi rozvoru podvozku bylo stanoveno vztahem:

$$\Delta p^+ = \frac{2a^+}{n_{760}} + 6 = \frac{1800}{250} + 6 = 13,2 \text{ mm}, \quad (5)$$

kde Δp^+ – mezní zborcení na bázi podvozku, $2a^+$ – rozvor podvozku, n_{760} – koeficient strmosti vzestupnice dle předpisu [4] (nejnepříznivější hodnota) a hodnota 6 mm představuje maximální odchylku vzájemné výškové polohy kolejnicových pásů. Při výpočtu mezního zborcení na bázi otočných čepů Δp^* nebyla tato odchylka zohledněna, a tedy: $\Delta p^* = 46 \text{ mm}$.

2.3 V sledky analytick eho posouzen ı kvazistatick e bezpe nosti proti vykolejen ı

Do v po tu pom rn ho odleh en ı kola byla zapo tana jednak kvazistatick a zm na svisl e kolov e s ly vlivem postaven ı vozidla na zborcen e koleji a jednak zm na statick e kolov e s ly vlivem dosazen ı trak n ho  stroj  do sk r n e řidic ho vozu. V sledn e pom rn e odleh en ı kola p ed a po dosazen ı trak n ho  stroj  je uvedeno v **TAB. 2**. A koli je v sledn a hodnota pom rn ho odleh en ı kola u p vodn ho řidic ho vozu 0,64 velmi bl zka zvolen e limitn ı hodnot  0,65 (vypl vajic ı z j ı zmin n ch parametr  a z principu jejího stanoven ı), nedoch z ı vlivem dosazen ı trak n ho  stroj  ke zvy šení t to hodnoty. Jin ımi slovy – proto e nen ı p edn ı podvozek dosazen ım dodate n e v zbroje odleh en, nem  tato  prava negativn ı vliv na kvazistatickou bezpe nost vozidla proti vykolejen ı. Uveden e v po ty p itom byly prov d ny pro pr zdn  v z, neboť v pr zdn m stavu je pom rn a zm na svisl ho zat ıen ı kola vlivem konstantn ı tuhosti svisl ho vypru en ı v obou stupn ıch (v prim rn m stupn ı jsou pou ity pru iny typu „Megi“, v sekund rn m šroubovit e v lcov e pru iny – viz sn mek hnac ho podvozku na **obr. 2**) největ ı. Tak e je nutn e poznamenat,  e proveden ı v po et pova uje jak sk r ı, tak i r m podvozku za dokonale tuh a t lesa, díky  emu  je v sledek v po tu na bezpe n j ı stran . Ov ren ı, zda opravdu nedoch z ı k odleh en ı p edn ho podvozku (vlivem nejistot p ı odhadu polohy t ıi t e motorogener toru) lze prov st buď zp esn n m v po tem, nebo v ızen ım vozidla.

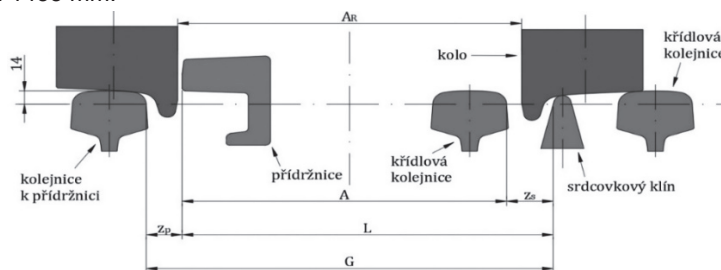
TAB. 2 Vypo ten e hodnoty pom rn ho odleh en ı kola p vodn ho/upraven ho řidic ho vozu

TABLE 2 Calculated values of relative wheel unload for the original/modified vehicle

Parametr	P�edn�ı podvozek (pod stanovi�t�m)	Zadn�ı podvozek (pod v�zbroj�ı)
Pom�rn�e odleh�en�ı kola p�vodn�ho řidic�ho v.	0,64	
Pom�rn�e odleh�en�ı kola upraven�ho řidic�ho v.	0,64	0,47

3 VZ JEMN  VZTAH DVOJKOL -KOLEJ

Vz jemn  vztah dvojkol -kolej byl vy etřovan  za  celem zji ten ı p echodn ı vozidel, p vodn e ur en ch pro provoz na koleji s rozchodem 750 mm. V tomto ohledu bylo nezbytn e prov st anal zu p jezdu dvojkol  v hybkou v oblasti jednoduch  srdcovky o rozchodu 760 mm, kter a m  b t na budouc ı trati  HEŽ pou ita. Stanoven ı rozm rov ch parametr  koleje v oblasti srdcovky pro dvojkol  se „šv carsk m“ j zdn ım obrysem (j zdn ı obrys se jmenovit m  hlem sklonu okolku 75  vych zejic ı z technick e dokumentace k pořizovan m jednotk m) bylo provedeno analogicky k  SN 73 6360-2 a  SN EN 15313 pro rozchod 1435 mm.



Obr. 6 P r chn ı řez v oblasti jednoduch  srdcovky s vyzna en ımi sledovan ımi parametry

Fig. 6 Lateral cross-section of the frog area with the highlighted controlled parameters

Pou it e podm nky jsou uvedeny v **TAB. 3**, kde V_R je vodic ı šířka dvojkol  a e je tloušťka okolku. Rovn   byla ov ren a p jezdnost dvojkol  s velk m  hlem n b hu  l bkem

u přídržnice z důvodu rozšíření půdorysu okolku a též byl stanoven vliv opotřebenění okolku či přídržnice.

TAB. 3 Podmínky pro analýzu výhybky
TABLE 3 Conditions for a turnout analysis

$A_{R,min} - A_{max} > 0$
$L_{min} - V_R > 0$
$z_{p,min} - e_{max} > 0$
$z_{s,min} - e_{max} > 0$

TAB. 4 Navržené parametry
TABLE 4 Designed parameters

G [mm]	760	(+3; -3)
z_p [mm]	34	(+1; -2)
z_s [mm]	38	(+1; -2)
A [mm]	≤ 697	
L [mm]	≥ 728	

Výsledné navržené rozměrové parametry koleje v oblasti jednoduché srdcovky jsou uvedeny v **TAB. 4**. Tyto parametry byly navrženy pro průjezd dvojkolí se „švýcarským“ a „slovenským“ jízdním obrysem (v současné době používaný jízdní obrys na vozidlech ČHŽ) a jsou v souladu s předpisem [4]. Protože „švýcarské“ dvojkolí má při vyšší hodnotě rozkolí menší šířku okolku (v porovnání s dvojkolím „slovenským“), nejsou pro průjezd výhybkou nově pořízené elektrické jednotky problematické, přestože byly původně určeny pro rozchod koleje o 10 mm menší.

4 PREDIKCE OPOTŘEBENÍ JÍZDNÍHO OBRYSU KOL ELEKTRICKÝCH JEDNOTEK

Opotřebenění jízdního obrysu kol elektrických jednotek bylo vyšetřováno výpočetními simulacemi jízdy vozidel v programu Simpack. Byly sestaveny simulační modely prázdného upraveného řídicího vozu a plně obsazeného motorového vozu (viz **obr. 7**). Simulační výpočty byly provedeny se „slovenským“ jízdním obrysem i „švýcarským“ jízdním obrysem.



Obr. 7 Simulační model motorového vozu

Fig. 7 Simulation model of the motor vehicle

V tomto článku jsou prezentovány pouze vybrané výsledky získané ze simulací jízdy motorového vozu. Podrobnější výsledky jsou (i pro řídicí vůz) uvedeny v práci [1].

4.1 Metody řešení

Byly zvoleny tři metody analýzy opotřebenění. První metoda posouzení využívá součet čísel opotřebenění, tzv. *Wear Number* (dále označeno jako *WN*), které program Simpack počítá dle rovnice (6). Jedná se o součin třecích sil T v podélném a v příčném směru s příslušnými relativními skluzy v . Výpočet nezahrnuje spinový moment. Metoda je rychlá a poskytuje základní náhled na míru opotřebenění; je však nejméně přesná. Druhá metoda využívá výpočet rozložení *WN* po šířce jízdního obrysu v průběhu simulace. Tento výpočet je časově náročnější, poskytuje však díky lokalizaci realizované třecí práce přesnější analýzu míry opotřebenění.

$$WN = |T_x \cdot v_x| + |T_y \cdot v_y|, \quad (6)$$

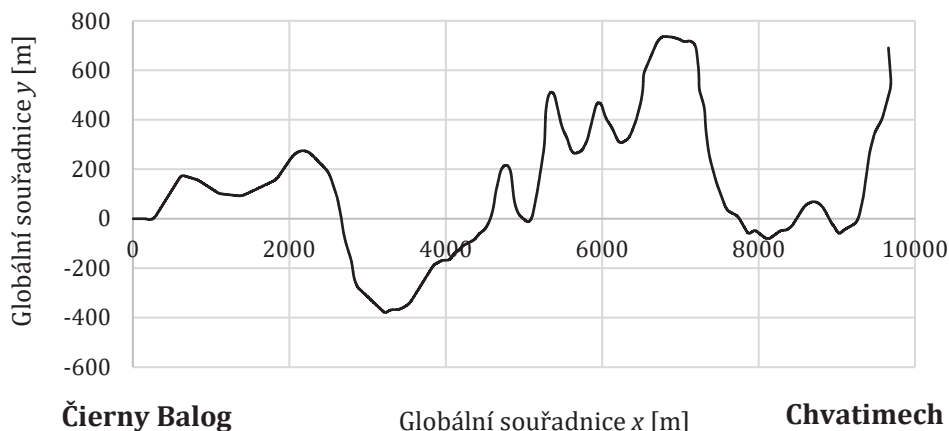
Tret ı metoda je zalo ena na vyu it ı speci lniho prvku Simpacku, tzv. *Rail Wheel Profile*, ktor y umo ňuje vypo ıtat  bytek materi lu pomoc  Archardovy teorie. Objem  bytku materi lu V_A je pak z visl y predov ším na norm lov e sily N a skluzov e vzd alenosti Δs :

$$V_A = \frac{N \cdot \Delta s}{H} \cdot \begin{cases} k_1 & \text{kdy  } p > fH \\ k_2 & \text{kdy  } p \leq fH & \text{a } v_s \leq v_1 \\ k_2 & \text{kdy  } p \leq fH & \text{a } v_1 < v_s \leq v_2 \\ k_2 & \text{kdy  } p \leq fH & \text{a } v_2 \leq v_s \end{cases} \quad (7)$$

kde H je tvrdosť m k ieho materi lu, k jsou koeficienty opotreben ı, p je kontaktn ı tlak, v_s je relativn ı rychlosť a v_1 , v_2 jsou hrani n ı skluzov e rychlosti. Dal ıı podrobnosti k metod m jsou uvedeny v pr ci [1].

4.2 Charakteristika vy etřov an e trati a provozn ı podm nky

Porovnv ac ı simulace byly provedeny na  seku Chvatimech–Dobro , tj. na  seku, kter y m  b t modernizov an. N kter e simulace byly rozd eleny do dvou  sek ;  ierny Balog–Chvatimech (viz **obr. 8**) a  ierny Balog–Dobro . Trasov n ı bylo nastaveno dle stavebn ı dokumentace s definov n m přev yšen m. Přechodnice byly pou ity ve tvaru klotoidy a vzestupnice line rn ı. Bylo pou ito roz ıren ı rozchodu koleje v oblouc ıch a referen n ı nerovnosti. Na trati z  ierneho Balogu do Chvatimechu se nach z ı dva oblouky s polom rem 40 m.



Obr. 8 P dorysn ı pohled na trať z  ierneho Balogu do Chvatimechu

Fig. 8 Plan view of the track from  ierny Balog to Chvatimech

4.3 Porovnv n ı „slovensk eho“ a „ v carsk eho“ j zdn ıho obrysu

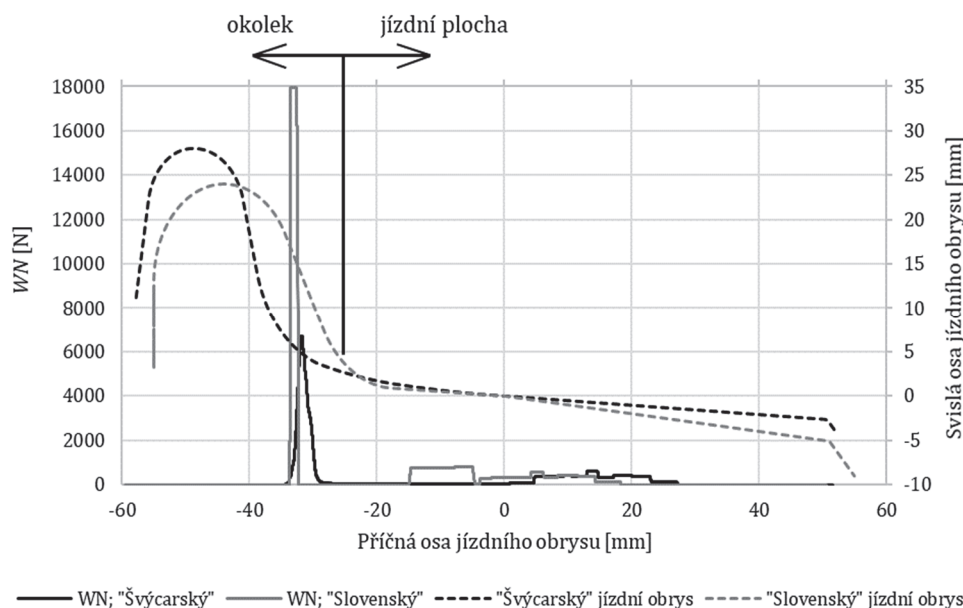
Z kladn ı porovnv n ı sou t   ısel opotreben ı WN je uvedeno v **TAB. 5**. Z v sledk  je patrn ,  e WN dosahuje obecn  v t ıch hodnot na 1. a 3. dvojkol ı, co  souvis  se skute nost ı,  e jde o nab ıhaj cı dvojkol ı jednotliv ch podvozk . Z **TAB. 5** tak  vypl v ,  e hodnoty  ısla opotreben ı jsou v t ıı p ı pou it ı „slovensk eho“ j zdn ıho obrysu (kter y se vyzna uje tlust ım okolkem a men ım  hlem sklonu okolku – viz t e  **obr. 9**), a to p ıbli n e o 50 % u 1. a 3. dvojkol ı. Lze tedy o ek vat v t ıı opotreben ı kol p ı pou it ı „slovensk ch“ j zdn ıch obrys  oproti kol m se „ v carsk m“ j zdn ım obrysem.

TAB. 5 Součet čísla opotřebení WN na jednotlivých kolech při jízdě motorového vozu v úseku Čierny Balog–Chvatimech

TABLE 5 The sum of wear number on individual wheels of a motor vehicle running on the section Čierny Balog–Chvatimech

Dvojkolí	Číslo opotřebení WN [MN]			
	„švýcarský“ jízdní obrys		„slovenský“ jízdní obrys	
	levé kolo	pravé kolo	levé kolo	pravé kolo
1	9,842	10,370	14,855	15,320
2	1,731	1,281	2,172	1,679
3	9,747	10,266	14,788	15,198
4	1,690	1,258	2,130	1,649

Podrobnější informace o opotřebení kol lze získat sledováním WN v závislosti na příčné poloze dotykového bodu na jízdním obrysu, což je zobrazeno na **obr. 9**. Z obrázku vyplývá, že lze očekávat opotřebení okolku obou uvažovaných jízdních obrysů. To je způsobeno především velkou obloukovitostí trati a extrémně malými poloměry oblouků. Intenzivnější opotřebení okolků však lze očekávat na okolku „slovenského“ jízdního obrysu (více než dvojnásobné oproti „švýcarskému“ jízdnímu obrysu), což je způsobeno především větší šířkou okolku a menším úhlem sklonu okolku.



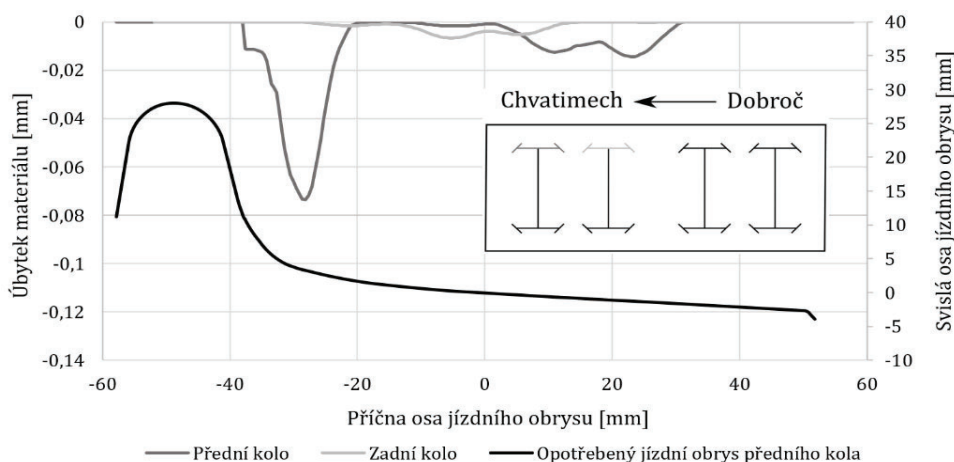
Obr. 9 Porovnání kumulativního rozložení hodnot čísla opotřebení v závislosti na příčné poloze dotykového bodu na jízdním obrysu v úseku Čierny Balog–Dobroč

Fig. 9 Comparison of the sums of wear number values depending on the lateral position of the contact point on the wheel profile in the track section Čierny Balog–Dobroč

V práci [1] bylo také řešeno porovnání intenzity opotřebení do jízdní plochy a do okolku. Z výsledků vyplývá, že u „slovenského“ jízdního obrysu se 75 % opotřebení realizuje do okolku, zatímco u „švýcarského“ jízdního obrysu jde pouze o 46 %. U „švýcarského“ jízdního obrysu tak lze očekávat rovnoměrnější opotřebení přes jízdní plochu i okolek.

4.3 Hodnocen  opotreben  „šv carsk ho“ j zdn ho obrysu pomoc  Archardovy teorie

Na **obr. 10** je zobrazen vypo ten   bytek materi lu opotreben m na p edn m a zadn m kole prv ho podvozku p i j zd  na trati z Dobro e do Chvatimechu a opotreben  j zdn  obrys p edn ho kola s faktorem vzd alenosti 150 km. Uveden ho opotreben  by tedy bylo dosa eno po najet  150 km na t eto trati. Z obr zku vypl v ,  e zadn  kolo podvozku je opotrebeno velmi m alo, ov sem p i j zd  opa n m sm erem (z Chvatimechu do Dobro e) bude toto kolo p edn , a kola si tak vym en  role. Poloha a intenzita  bytku materi lu podle Archardovy teorie odpov d  d iv e uveden m v sledk m ze sledov n   isla opotreben  WN .



Obr. 10  bytek materi lu na kolech p edn ho podvozku motorov ho vozu p i najet  150 km
Fig. 10 Loss of material on the front bogie wheels of the motor vehicle after 150 km

5 Z V R

Tento p r spevek se zab v  hodnocen m kvazistatick  bezpečnosti proti vykolejen  „nov ch“ elektrick ch jednotek  H(E) , kompatibilitou jejich dvojkol  (ur en ch p vodn  pro rozchod koleje 750 mm) s infrastrukturou  H  a simula n  predikc  opotreben  j zdn ch obrys  jejich kol v provozu. Na z klad  z skan ch v sledk  je mo n  konstatovat,  e:

- p i uva ov n  mezn ch hodnot zborcen  koleje, kter  se teoreticky mohou na trati vyskytnout, vych z  z hlediska kvazistatick  bezpečnosti proti vykolejen  vozidlo jako bezpe n , by  dosa en  hodnoty pom rn ho odleh en  kola řidic ho vozu v pr zdn m stavu jsou velmi bl zk  stanoven  mezn  hodnot ;
- k tomu, aby bylo vozidlo z hlediska bezpečnosti proti vykolejen  vyhovuj c , v razn  p r sp v  pou it  j zdn ho obrysu kol s  hlem sklonu okolku 75 . P r padn  pou it  j zdn ho obrysu kol s men m  hlem sklonu okolku by vedlo ke sn izen  bezpečnosti proti vykolejen ;
- dosazen  motorgener toru a jeho p r slu enstv  do sk r n  řidic ho vozu nevede ani v pr zdn m stavu ke sn izen  kvazistatick  bezpečnosti proti vykolejen  tohoto vozu, a to za p edpokladu,  e vlivem dosazen  dodate n  trak n  v zbroje nedojde k odleh en  p edn ho podvozku;
- pořízen  elektrick  jednotky, p edev m d ky men m šířce okolku, nejsou problematick  z pohledu p r jezdu v hybkou na trat ch  HE ;
- p i pou it  „slovensk ch“ j zdn ch obrys  lze o ek vat velké opotreben  v oblasti okolku, zat mco p i pou it  „šv carsk ch“ j zdn ch obrys  bude opotreben  rovnom rn j  a podle hodnot  isla opotreben  WN tak  m n  intenzivn .

Tato práce byla podpořena Univerzitou Pardubice v rámci řešení projektu SGS_2023_014 „Aktuální výzkumná témata z oblastí dopravních prostředků a infrastruktury řešená na DFJP“.

Literatura

[1] Lokvenc, M.: *Interakce vozidlo–kolej v podmínkách ČHEŽ*. Pardubice: Univerzita Pardubice, 2023. [2] Michálek, T., Lokvenc, M., Šlapák, J.: *Výpočet bezpečnosti proti vykolejení úzkorozchodného řídicího vozu*. Zpráva č. DP-07-22. Čes. Třebová: Dislok. pracoviště DFJP, 2022. [3] Izer, J., Janda, J., Maruna, Z., Zdrůbek, S.: *Kolejové vozy*. Bratislava: ALFA, 1986. [4] *ŽSR TS 3-10: Železničný zvršok koľají rozchodu 760 mm a 1 000 mm*. Bratislava: Gestorský útvar, O 430 GR ŽSR, 2018.



Resumé

Čiernohronska železnica (ČHŽ) je známou turistickou lesní dráhou o rozchodu 760 mm, jejíž kmenová trať dnes spojuje Chvatimech s Čiernym Balogem a Dobročí. V rámci plánů na nevyhnutelnou obnovu trati vznikl projekt její kompletní modernizace vč. elektrizace a začlenění do IDS Banskobystrického kraje. Pro potřeby realizace nového provozního konceptu již byly do majetku ČHŽ od společnosti Waldenburgerbahn pořízeny elektrické jednotky, tvořené motorovým a řídicím vozem a provozované původně ve Švýcarsku na rozchodu 750 mm. Protože má provoz úzkorozchodných vozidel určitá specifika, věnoval se této problematice studentský projekt a diplomová práce, řešené v letech 2022–2023 na Dopravní fakultě Jana Pernera Univerzity Pardubice. Tento příspěvek shrnuje okruhy problémů, jež byly v rámci práce řešeny, tedy zejména posouzení bezpečnosti proti vykolejení upravené jednotky (dosazení motorgenerátoru do řídicího vozu jednotky pro dočasný provoz na neelektrifikované trati), posouzení kompatibility vozidla určeného původně pro provoz na trati o rozchodu 750 mm a infrastruktury se jmenovitým rozchodem koleje 760 mm a simulace jízdy vozidla prováděné za účelem odhadu předpokládaného opotřebení kol při provozu vozidel na trati.

Summary

The Čierny Hron Railway (ČHŽ) is a well-known tourist forest railway with a track gauge of 760 mm, whose main line today connects Chvatimech with Čierny Balog and Dobroč. As part of the plans for the renewal of the line, a project was created for its complete modernization incl. electrification and inclusion in the ITS of the Banská Bystrica Region. For the purposes of implementing the new operational concept, several EMUs have already been purchased from the Waldenburgerbahn company for the property of ČHŽ. These EMUs consist of a motor and driving car and were operated in Switzerland on a track gauge of 750 mm. Since the operation of railway vehicles on the narrow gauge has certain specificities, this issue was dealt with in a student project and diploma thesis, solved in 2022–2023 at the Faculty of Transport Engineering of the University of Pardubice. This contribution summarizes the areas of problems that were solved as part of these works, i.e. the derailment safety assessment of the modified unit (installation of the motor-generator in the driving car for temporary operation on a non-electrified line), the compatibility assessment of the vehicle originally intended for operation on a track gauge of 750 mm and infrastructure with a track gauge of 760 mm and multi-body simulations performed to estimate the expected wheel wear during the operation.